

# 素粒子特論

---

2016年度前期

河野能知

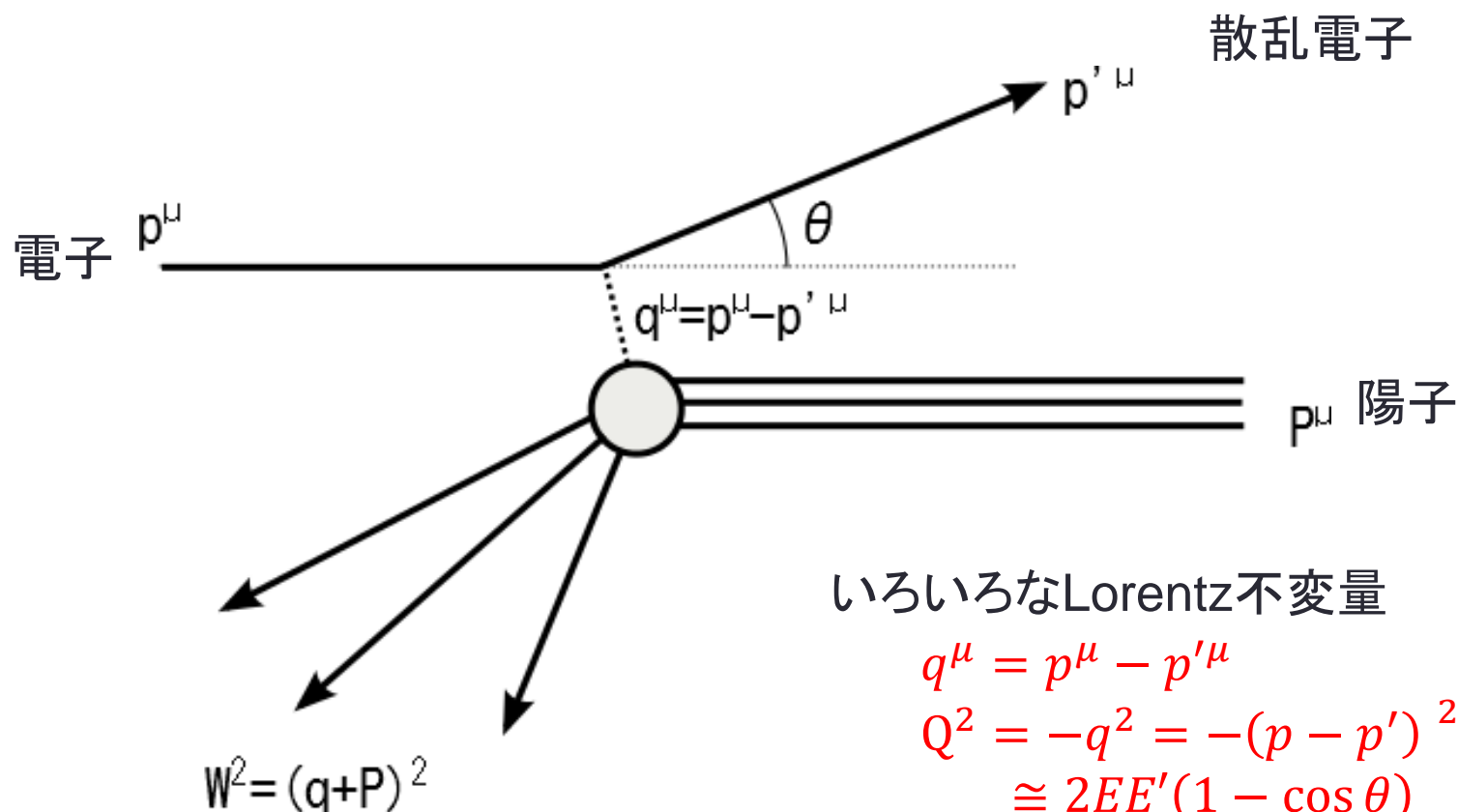
[kono.takanori@ocha.ac.jp](mailto:kono.takanori@ocha.ac.jp)

理学部1号館208室

# 陽子の構造とパートン模型

- 電子・陽子深非弾性散乱
  - 運動学
  - クォーク・パートン模型
- パarton分布関数 (Parton Density Function)
  - QCDとパートン分布関数
  - DGLAP発展方程式
  - 様々な深非弾性散乱
- 電子・陽子衝突型加速器HERA
  - 中性カレント、荷電カレント
  - PDF fit
  - 陽子の構造
  - 高エネルギー・ハドロン散乱

# 電子・陽子衝突の運動学



いろいろなLorentz不変量

$$q^\mu = p^\mu - p'^\mu$$

$$Q^2 = -q^2 = -(p - p')^2 \cong 2p \cdot p' \\ \cong 2EE'(1 - \cos \theta)$$

$$W^2 \cong -Q^2 + 2P \cdot q = -Q^2 + 2Mv$$

$$v = \frac{P \cdot q}{M}, x = \frac{Q^2}{2P \cdot q} = \frac{Q^2}{2Mv}$$

散乱電子以外の粒子全体

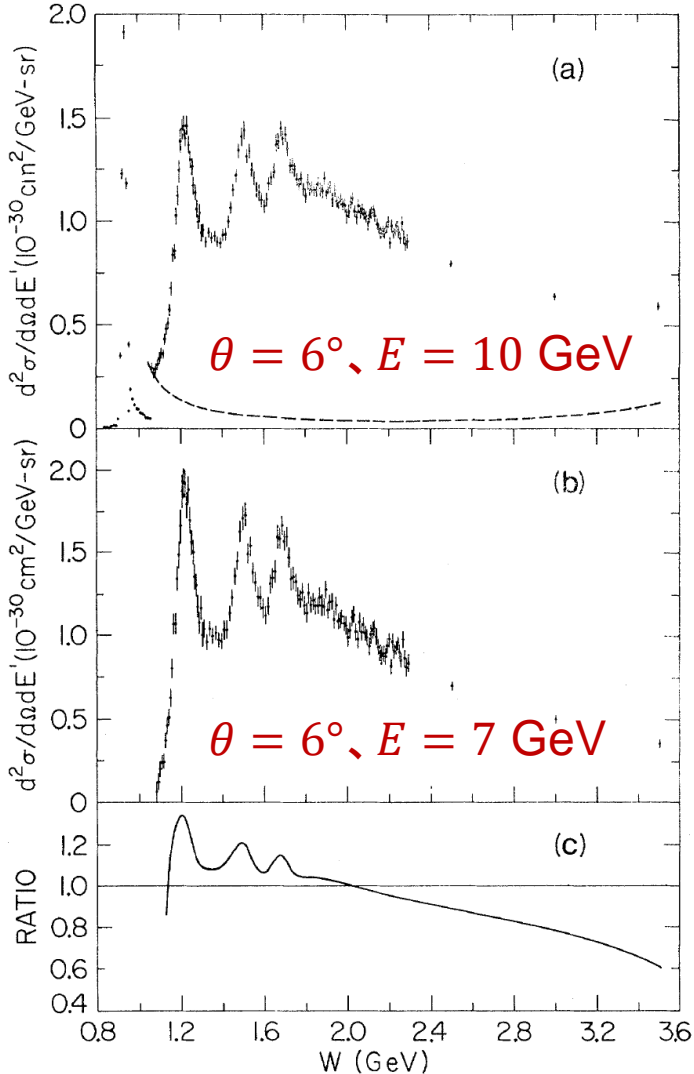
独立なものは2変数のみ

# SLACでの深非弾性散乱実験



# 微分断面積の $W$ 依存性 ( $\theta = 6^\circ$ )

Phys. Rev. Lett. 23, 930 (1969)



1960年代後半にSLACで行われていた実験

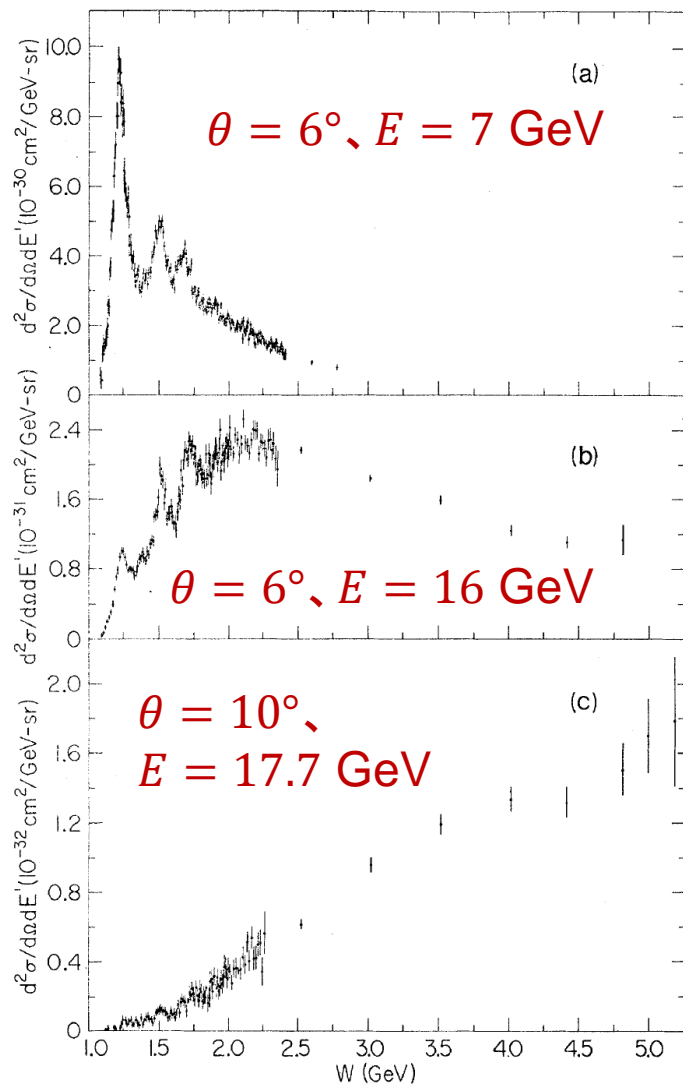
- 7~17.7 GeVの電子ビームを静止した陽子標的に当てる
- 標的は厚さ7 cmの液体水素
- 終状態の測定
  - 電子のみを測定する
  - 散乱角 $\theta = 6^\circ$ または $10^\circ$ に磁気スペクトロメータ、飛跡検出器、カロリメータを置いて電子のエネルギーを測定
  - 電子の散乱角とエネルギーから $W$ を計算してヒストグラムに詰める

$$Q^2 \cong 2EE'(1 - \cos \theta)$$

~陽子内部を探るプローブの分解能

# 微分断面積の $W$ 依存性 ( $\theta = 10^\circ$ )

Phys. Rev. Lett. 23, 930 (1969)



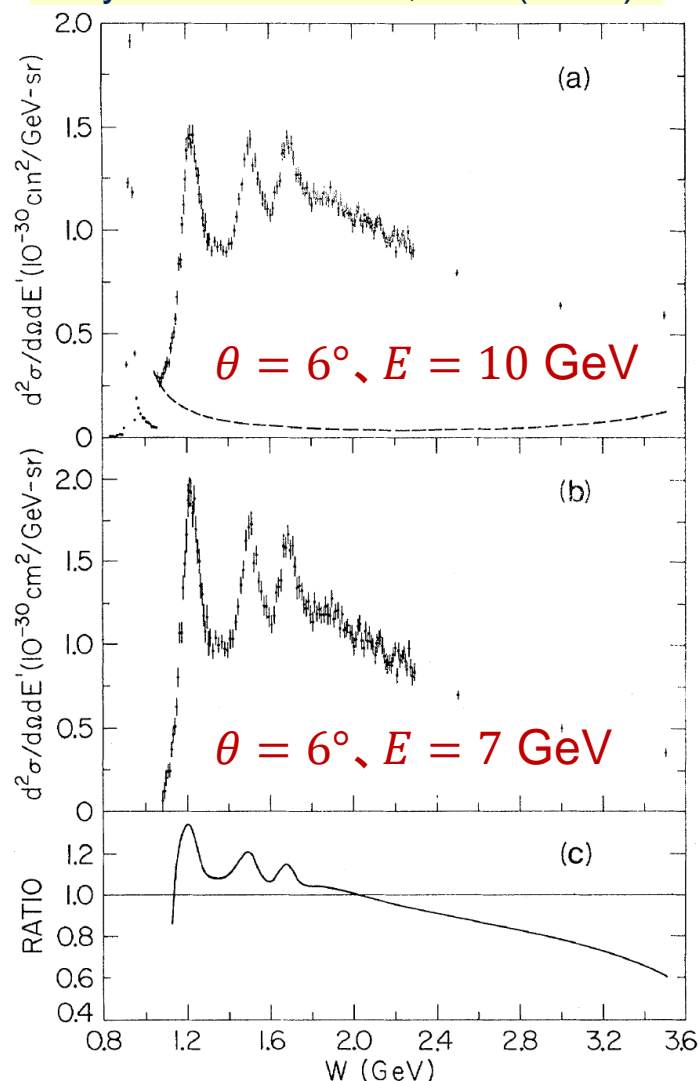
ビームエネルギー、散乱角が異なると $W$ 分布も大きく変わる  
 これらの構造は何を表しているか？

陽子が内部構造を持つ証拠

陽子を形成しているものがクォークであると言えるか？

# 陽子の内部構造の証拠

Phys. Rev. Lett. 23, 930 (1969)



$W$ は終状態の電子以外の粒子全体からなる系の不変質量である

- 陽子以外に粒子が1個だけあれば、その粒子の質量に対応する
  - 弾性散乱ピーク
  - 陽子の励起状態
- 複数の粒子があれば、不変質量は連続的に分布する
  - $Q^2$ が大きくなるほど、連続スペクトルの寄与が増えている

# 点状の荷電粒子の弾性散乱

- Rutherford散乱
  - 荷電粒子と荷電粒子の間の散乱。クーロン力だけを考えている
  - 粒子のスピンは考慮されていない
  - $$\left(\frac{d\sigma}{d\Omega}\right)_{\text{Rutherford}} = \frac{Z^2\alpha^2}{4E^2\sin^4\frac{\theta}{2}}$$
- Mott散乱
  - 電子散乱において、スピンをもつ電子が標的の作るクーロン電場によって散乱される
  - 標的のスピンは考慮されていない
  - $$\left(\frac{d\sigma}{d\Omega}\right)_{\text{Mott}} = \left(\frac{d\sigma}{d\Omega}\right)_{\text{Rutherford}} \left(1 - \beta^2\sin^2\frac{\theta}{2}\right)$$
- 場の理論による電荷とスピンをもつ粒子同士の弾性散乱
  - 例:  $e^- + \mu^- \rightarrow e^- + \mu^-$
  - $$\left(\frac{d\sigma}{d\Omega}\right)_{\text{point, spin } 1/2} = \left(\frac{d\sigma}{d\Omega}\right)_{\text{Mott}} \left(1 + \frac{Q^2}{2M^2} \cdot \tan^2\frac{\theta}{2}\right)$$



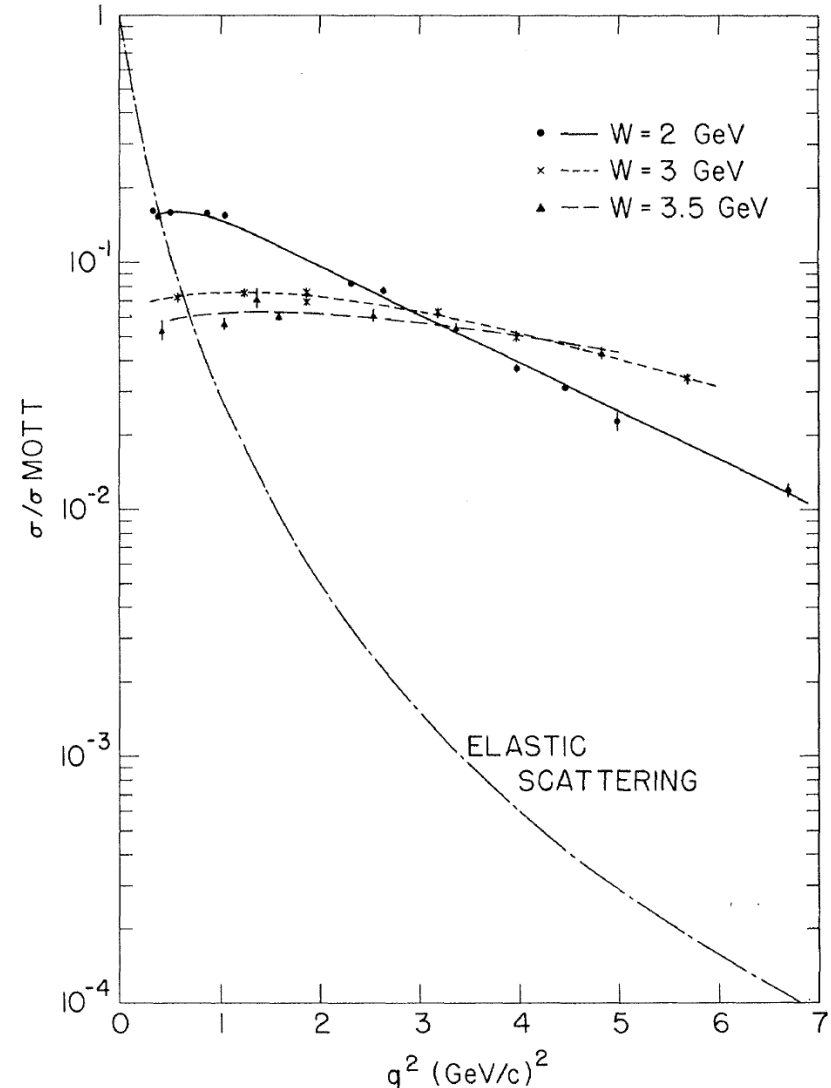
# 構造をもつ荷電粒子の弾性散乱

- 点状の荷電粒子ではなく、標的が構造をもつ場合を考える
  - 入射粒子は点状の電子とする
- 標的が電荷分布 $\rho(\vec{x})$ を持つ場合
  - 形状因子 $F(\vec{q})$ : 電荷分布のフーリエ変換
  - $\left(\frac{d\sigma}{d\Omega}\right)_{\text{Rutherford}} \rightarrow \left(\frac{d\sigma}{d\Omega}\right)_{\text{Rutherford}} |F(\vec{q})|^2$
  - $\left(\frac{d\sigma}{d\Omega}\right)_{\text{Mott}} \rightarrow \left(\frac{d\sigma}{d\Omega}\right)_{\text{Mott}} |F(\vec{q})|^2$
  - $\left(\frac{d\sigma}{d\Omega}\right)_{\text{point, spin } 1/2} \rightarrow \left(\frac{d\sigma}{d\Omega}\right)_{\text{Mott}} \left[ W_2(Q^2, \nu) + 2W_1(Q^2, \nu) \tan^2 \frac{\theta}{2} \right]$
- 構造関数
  - $W_1(Q^2, \nu), W_2(Q^2, \nu)$

# 深非弾性散乱

電子・陽子散乱の断面積は、スピン1/2の点粒子同士の弾性散乱の断面積と比べると $Q^2$ が大きいところで大幅に理論予想を超過している

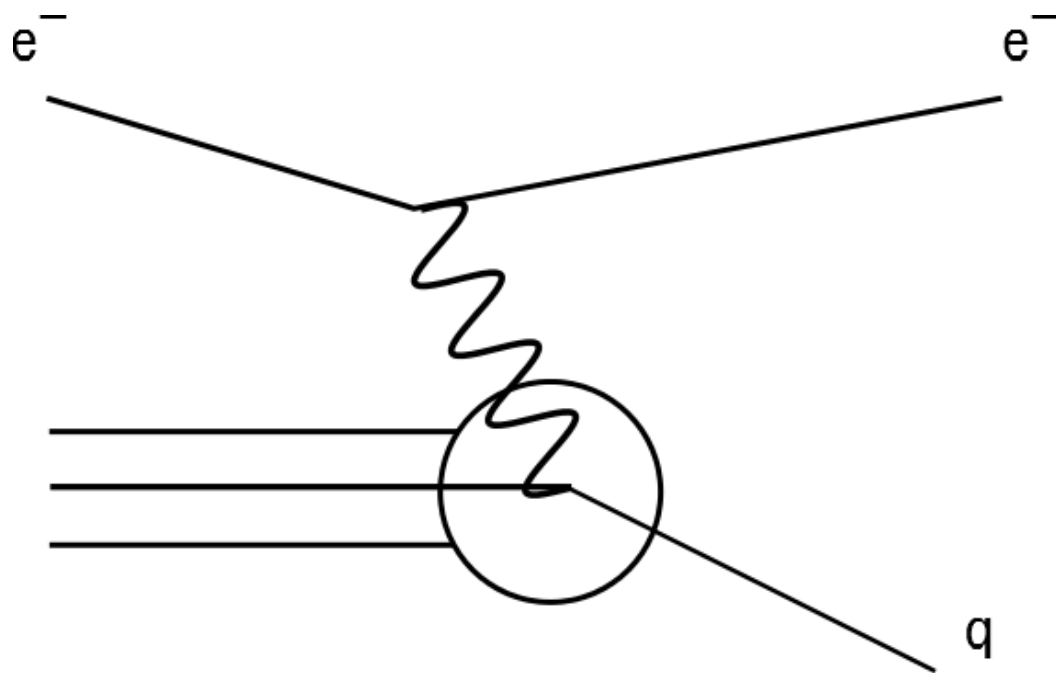
Phys. Rev. Lett. 23, 935 (1969)



# クォーク・パートン模型

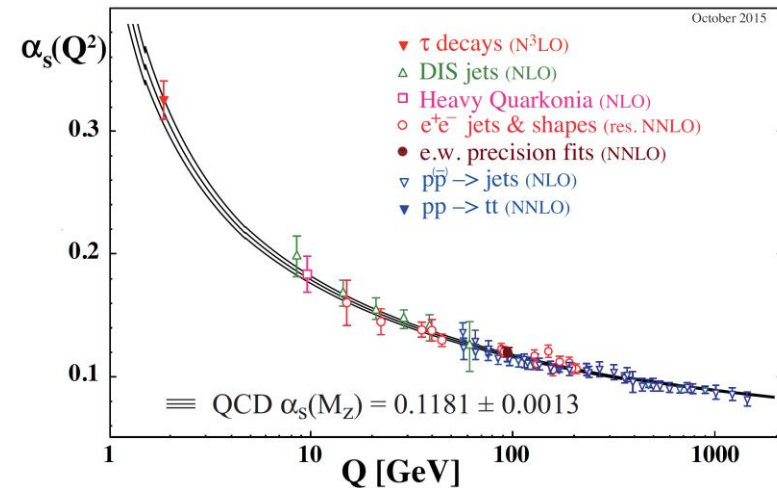
Feynmann (1969) パートン模型の導入

parton (part + "on"), (部分子?)

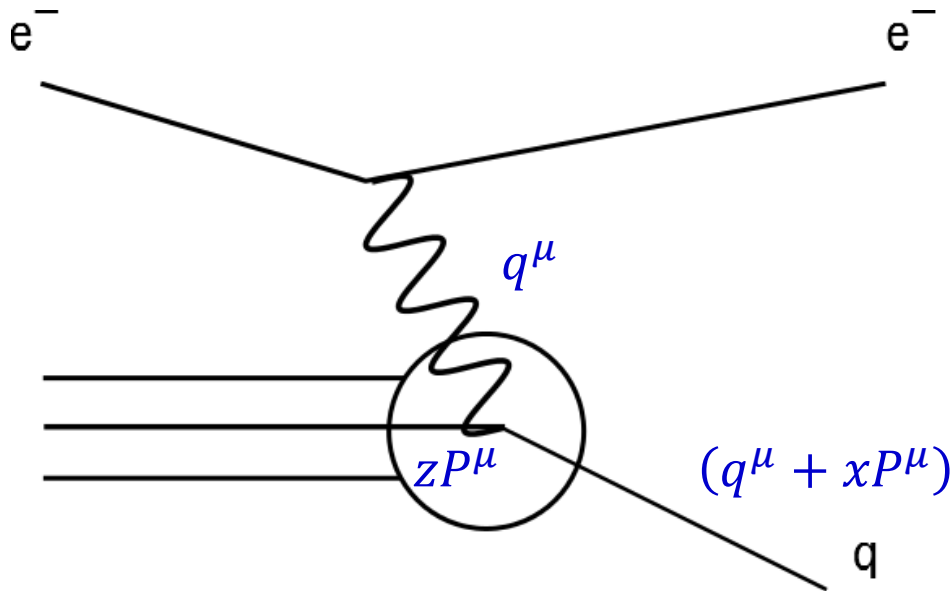


電子から放出された光子が陽子内部にあるパートンと散乱する

パートンは陽子内でほぼ自由粒子として存在していると過程 (QCDの漸近的自由性)



# パートン模型



陽子内のパートンは、陽子の運動量のうち割合  $z$  だけ担うとする

$$p_{\text{parton}}^\mu = zP^\mu$$

$$0 = (q^\mu + zP^\mu)^2 = -Q^2 + 2zP \cdot q + z^2M^2$$

$$-Q^2 + 2zP \cdot q \cong 0$$

$$z = \frac{Q^2}{2P \cdot q} = \frac{Q^2}{2Mv} \equiv x$$

パートンがもつ運動量割合は、実はLorentz不変量  $x$  に等しい

# 点状パートンの存在

電子・陽子散乱(構造をもつ場合)

$$\left(\frac{d\sigma}{d\Omega}\right)_{\text{Mott}} \left[ W_2(Q^2, \nu) + 2W_1(Q^2, \nu) \tan^2 \frac{\theta}{2} \right]$$

点状標的では、質量を無視すると

$$\nu = \frac{Q^2}{2m}$$

$$2W_1(Q^2, \nu) \rightarrow \frac{Q^2}{2m^2} \delta\left(\nu - \frac{Q^2}{2m}\right)$$

$$W_2(Q^2, \nu) \rightarrow \delta\left(\nu - \frac{Q^2}{2m}\right)$$

電子・陽子散乱(標的が点状の場合)

$$\left(\frac{d\sigma}{d\Omega}\right)_{\text{Mott}} \left( 1 + \frac{Q^2}{2M^2} \cdot \tan^2 \frac{\theta}{2} \right)$$

$$x = \frac{Q^2}{2m\nu} = 1$$

$$2mW_1(Q^2, \nu) \rightarrow \frac{Q^2}{2m\nu} \delta\left(1 - \frac{Q^2}{2m\nu}\right)$$

$$\nu W_2(Q^2, \nu) \rightarrow \delta\left(1 - \frac{Q^2}{2m\nu}\right)$$

# 構造関数のスケーリング

$$2mW_1(Q^2, \nu) \rightarrow \frac{Q^2}{2m\nu} \delta\left(1 - \frac{Q^2}{2m\nu}\right)$$

$$\nu W_2(Q^2, \nu) \rightarrow \delta\left(1 - \frac{Q^2}{2m\nu}\right)$$

点状粒子に対しては、構造関数は $Q^2$ と $\nu$ という2変数の関数ではなく、

$$\frac{Q^2}{2m\nu}$$

という形の変数1つのみ依存する。

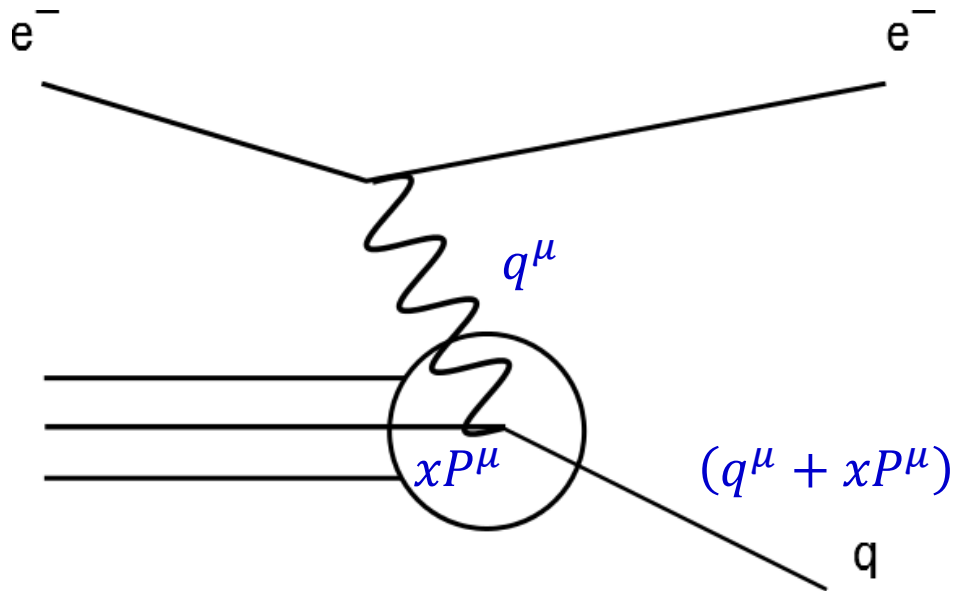
陽子の構造関数に対しては、

$$MW_1(Q^2, \nu) = F_1(x, Q^2) \rightarrow F_1(x)$$

$$\nu W_2(Q^2, \nu) = F_2(x, Q^2) \rightarrow F_2(x)$$

$$x = \frac{Q^2}{2M\nu}$$

# パートン分布関数



## パートン分布関数 $f_i(x, Q^2)$

- $i$ 種のパートンのもつ運動量割合  $x$  をもった状態で現れる確率

## パートン模型

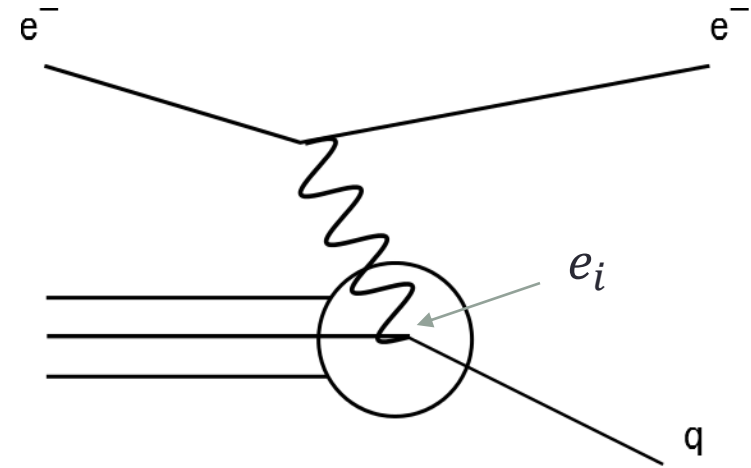
- $Q^2$ が大きくなると、電子から放出された光子は陽子中の運動量割合  $x$  を持つ点状のパートンを弾き飛ばす
- 運動量割合  $x$  はどのような値を取るか → パートン分布関数

# 構造関数とパートン模型

点状のパートン1個に対する構造関数

$$MW_1(Q^2, \nu) \equiv F_1(x, Q^2) \rightarrow \frac{1}{2x} \delta\left(x - \frac{Q^2}{2M\nu}\right)$$

$$\nu W_2(Q^2, \nu) \equiv F_2(x, Q^2) \rightarrow x \delta\left(x - \frac{Q^2}{2M\nu}\right)$$



パートン分布を考慮すると、

$$F_2(x, Q^2) = \sum_i e_i^2 \int dx f_i(x, Q^2) x \delta\left(x - \frac{Q^2}{2M\nu}\right)$$

$$= \sum_i e_i^2 x f_i(x, Q^2)$$

$$F_2(x, Q^2) = \frac{1}{2x} F_2(x, Q^2)$$



# パートン分布に対する要請

運動量割合を全て足すと1になる

$$\sum_i \int dx x f_i(x, Q^2) = 1$$

クォーク模型との整合性

$$\int dx [u(x, Q^2) - \bar{u}(x, Q^2)] = 2$$

$$\int dx [d(x, Q^2) - \bar{d}(x, Q^2)] = 1$$

$$\int dx [s(x, Q^2) - \bar{s}(x, Q^2)] = 0$$

チャーム、ボトムについても和が  
ゼロになるべき

パートン分布関数

$$u(x, Q^2), \bar{u}(x, Q^2)$$

$$d(x, Q^2), \bar{d}(x, Q^2)$$

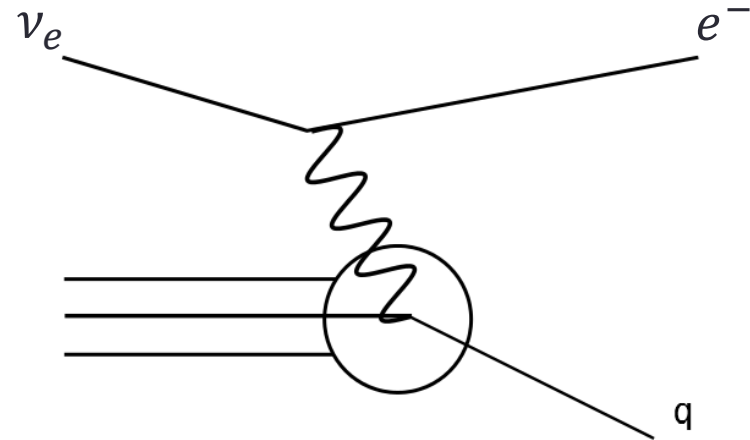
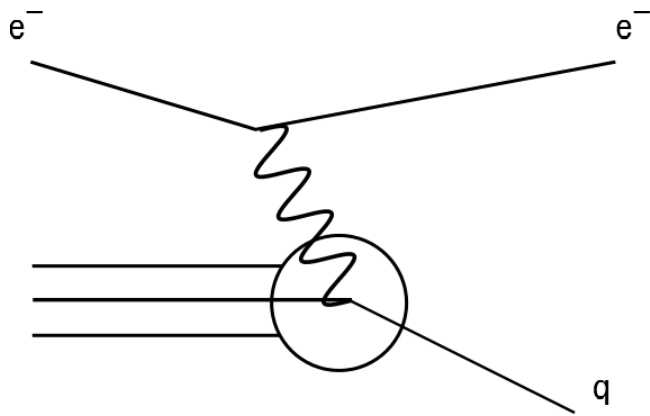
$$s(x, Q^2), \bar{s}(x, Q^2)$$

$$c(x, Q^2), \bar{c}(x, Q^2)$$

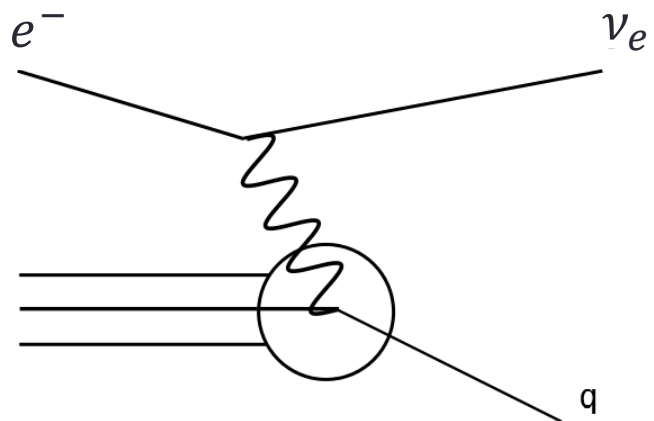
$$b(x, Q^2), \bar{b}(x, Q^2)$$

$$g(x, Q^2)$$

# いろいろな深非弾性散乱

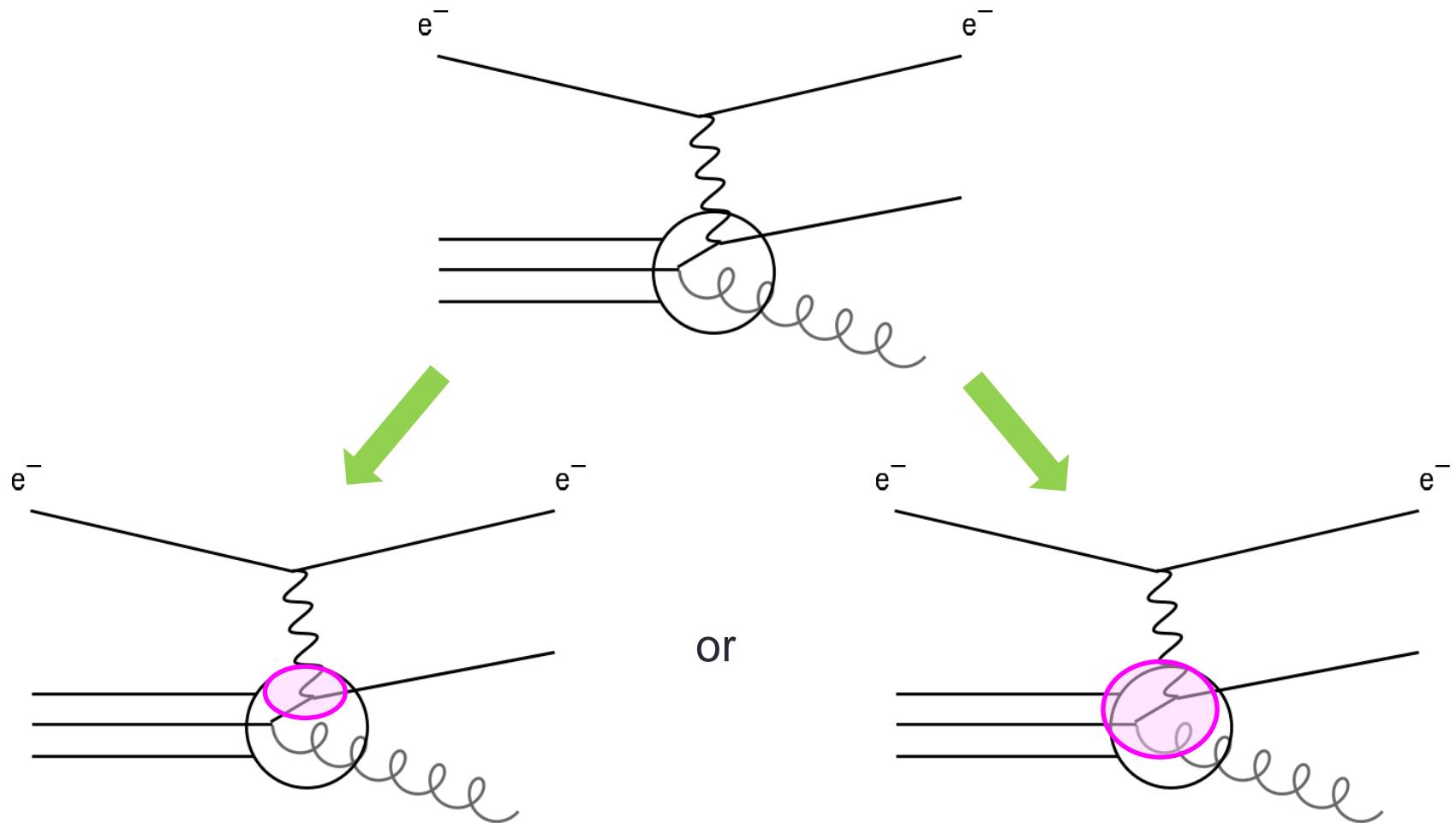


パートン分布の中でも  
 $d, s, \bar{u}$ に感度がある



パートン分布の中でも  
 $u, c, \bar{d}, \bar{s}$ に感度がある

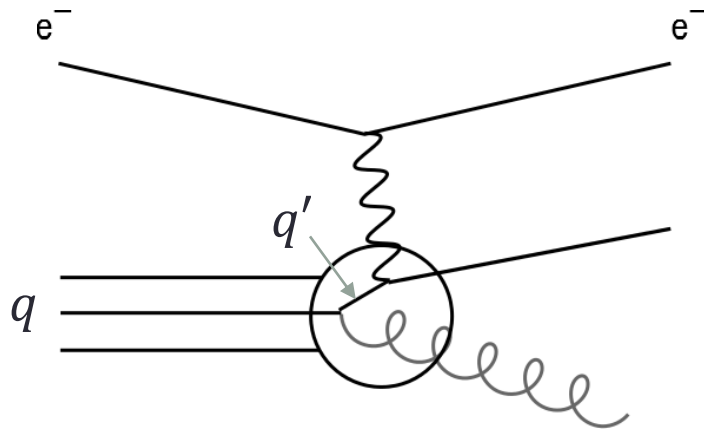
# QCDによる高次の効果



クォーク分布  
 $q + \gamma \rightarrow q$ 過程

クォーク分布  
 $q + \gamma \rightarrow q + g$ 過程

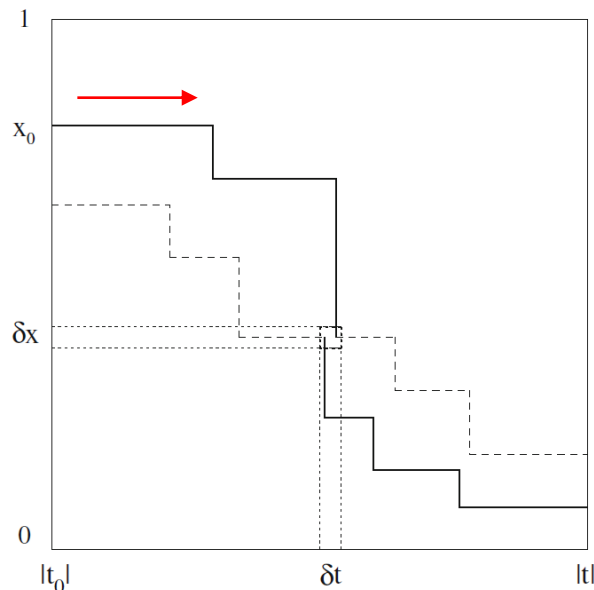
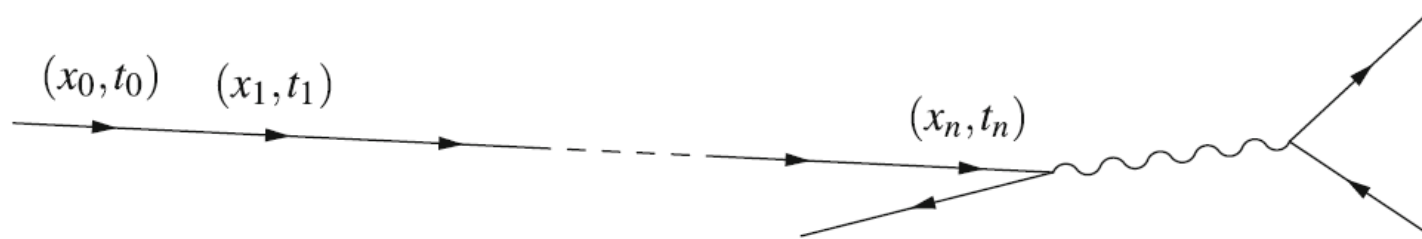
# パートン分布と摂動計算



- パarton分布と摂動計算の境目をどこに取るべきか
  - パarton分布は直接観測できる物理量ではない
  - 整合性の取れた定義を決めて、それに基づいて計算するしかない
- 
- パarton  $q$  は分布  $q(x, Q^2)$  で出現可能
  - パarton  $q'$  は分布  $q'(x', Q'^2)$  となる
    - $x' < x$

# パートン分布の発展方程式

T. Plehn, LHC Physics



## パートン分布の $Q^2$ に対する発展方程式

$$\frac{df_q(x, -t)}{d \log(-t)} = -t \frac{df_q(x, -t)}{d(-t)} = \sum_{j=q,g} \int_x^1 \frac{dz}{z} \frac{\alpha_s}{2\pi} P_{q \leftarrow j}(z) f_j\left(\frac{x}{z}, -t\right)$$

DGLAP evolution equation  
(Dokshitzer, Gribov, Lipatov, Altarelli, Parisi)

$$Q^2 = -t$$

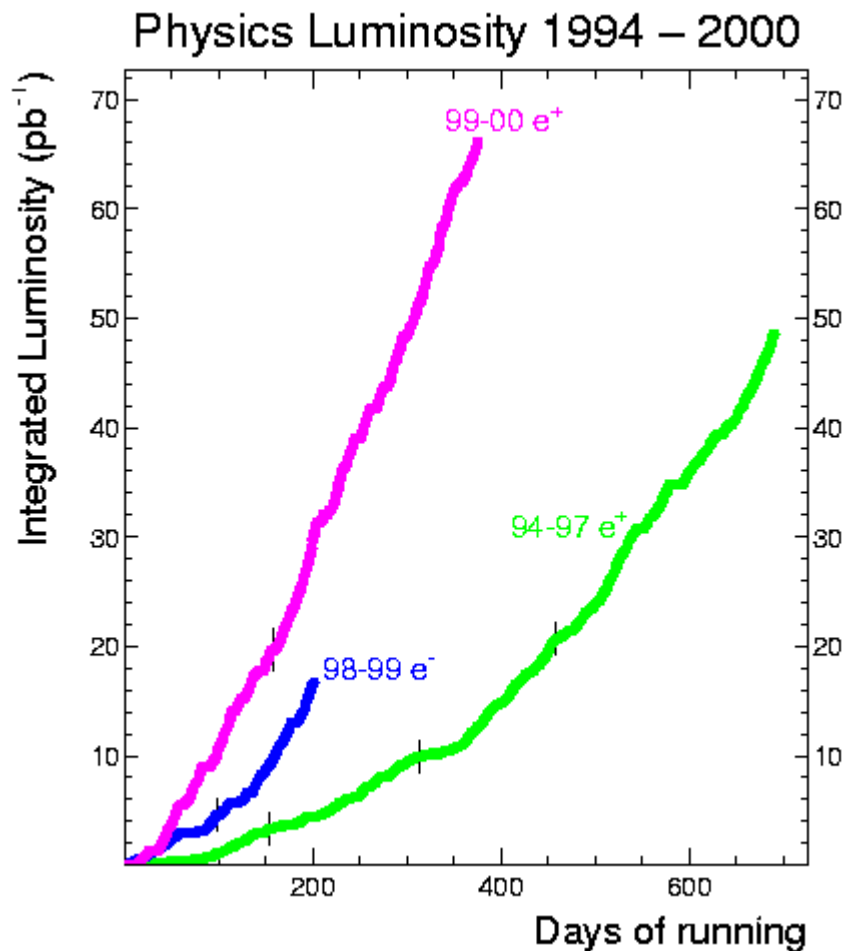
# 電子・陽子衝突型加速器HERA

Hadron Electron Ring Accelerator (HERA)

ドイツハンブルク市のDESY研究所で1992 – 2007の間、稼働していた  
周長約6 km。電子27.5 GeV, 陽子820 or 920 GeV, 重心系エネルギー318 GeV



# HERA-1の運転状況



- $e^- + p \rightarrow e^- + X$  (Neutral Current)
  - $e^- + p \rightarrow \nu_e + X$  (Charged Current)
  - $e^+ + p \rightarrow e^+ + X$  (Neutral Current)
  - $e^+ + p \rightarrow \bar{\nu}_e + X$  (Charged Current)
- 等を測定

# 深非弾性散乱の断面積

## Neutral currentの断面積

$$\begin{aligned} \frac{d^2\sigma^{e^+p}}{dx dQ^2} &= \frac{2\pi\alpha^2}{xQ^4} \left[ Y_+ F_2(x, Q^2) - Y_- x F_3(x, Q^2) \right. \\ &\quad \left. - y^2 F_L(x, Q^2) \right] (1 + \delta_r(x, Q^2)) \\ &= \frac{d^2\sigma_{\text{Born}}^{e^+p}}{dx dQ^2} (1 + \delta_r(x, Q^2)), \end{aligned}$$

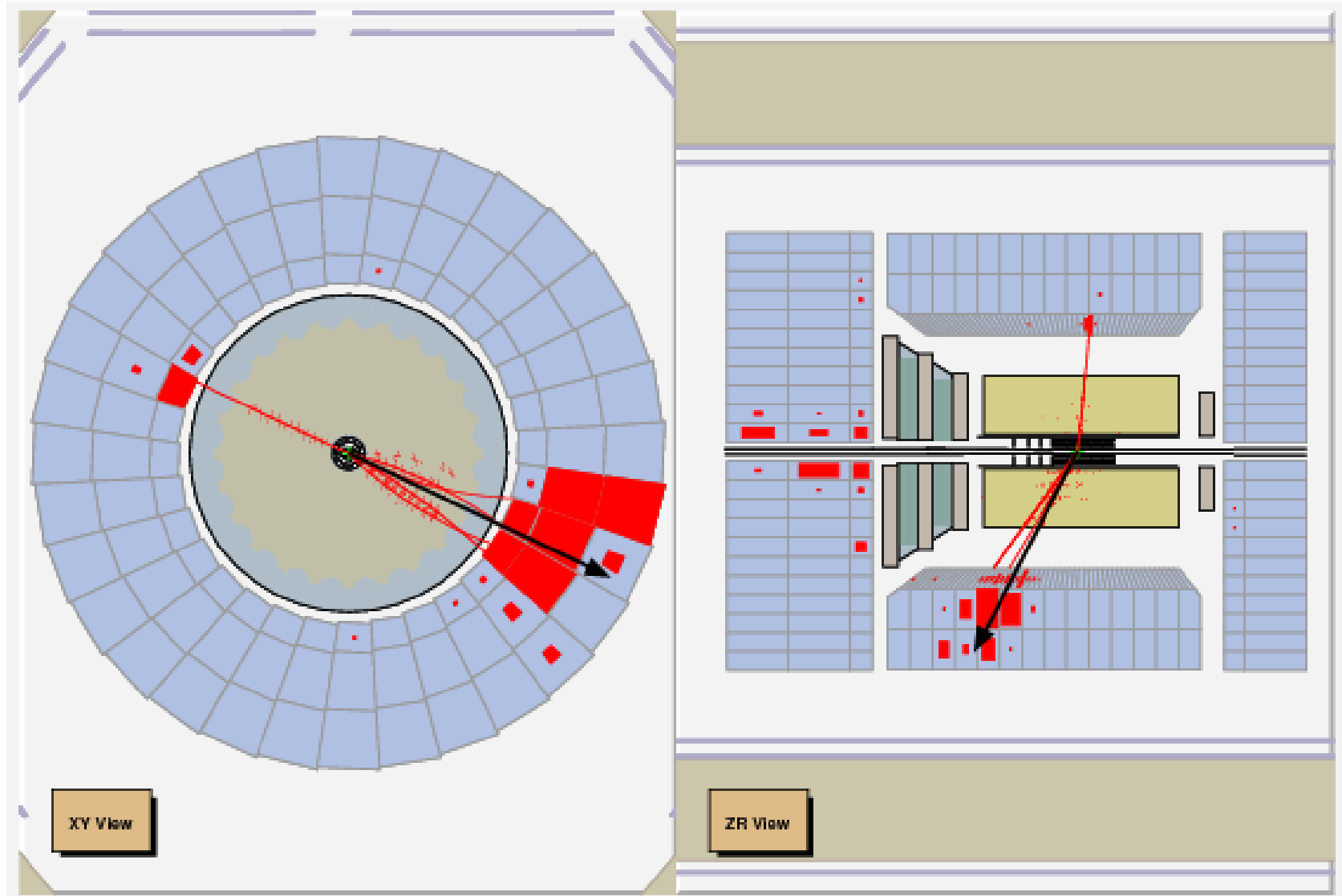
$$Y_{\pm} = 1 \pm (1 - y)^2$$

$$\begin{aligned} \frac{d^2\sigma_{\text{Born}}^{\text{CC}}(e^-p)}{dx dQ^2} &= \frac{G_F^2}{4\pi x} \frac{M_W^4}{(Q^2 + M_W^2)^2} \\ &\quad \times [Y_+ F_2^{\text{CC}}(x, Q^2) - y^2 F_L^{\text{CC}}(x, Q^2) \\ &\quad + Y_- x F_3^{\text{CC}}(x, Q^2)], \end{aligned}$$

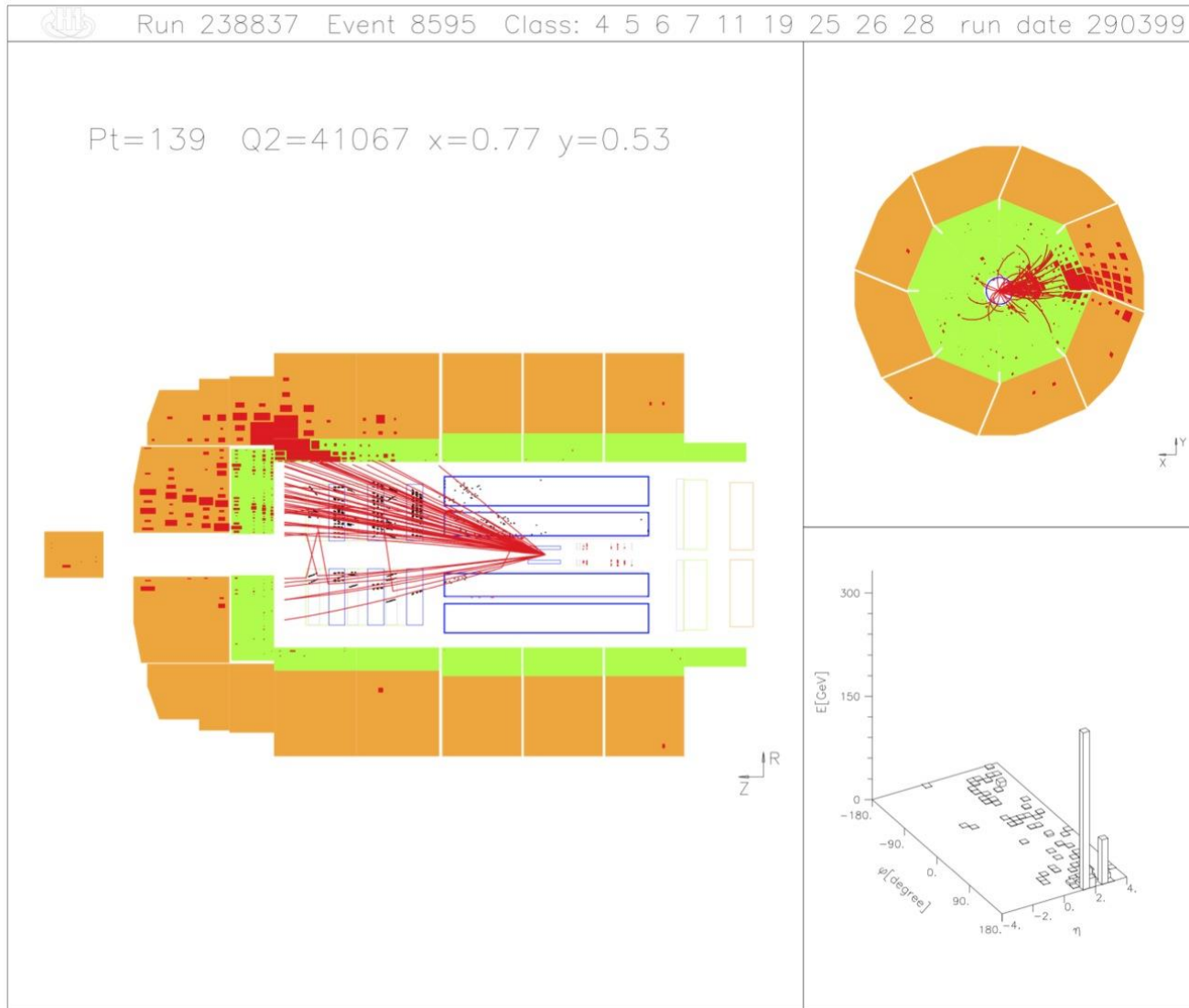
$$\begin{aligned} F_2^{\text{CC}} &= x [u(x, Q^2) + c(x, Q^2) \\ &\quad + \bar{d}(x, Q^2) + \bar{s}(x, Q^2)] \end{aligned}$$



# Neutral currentの例



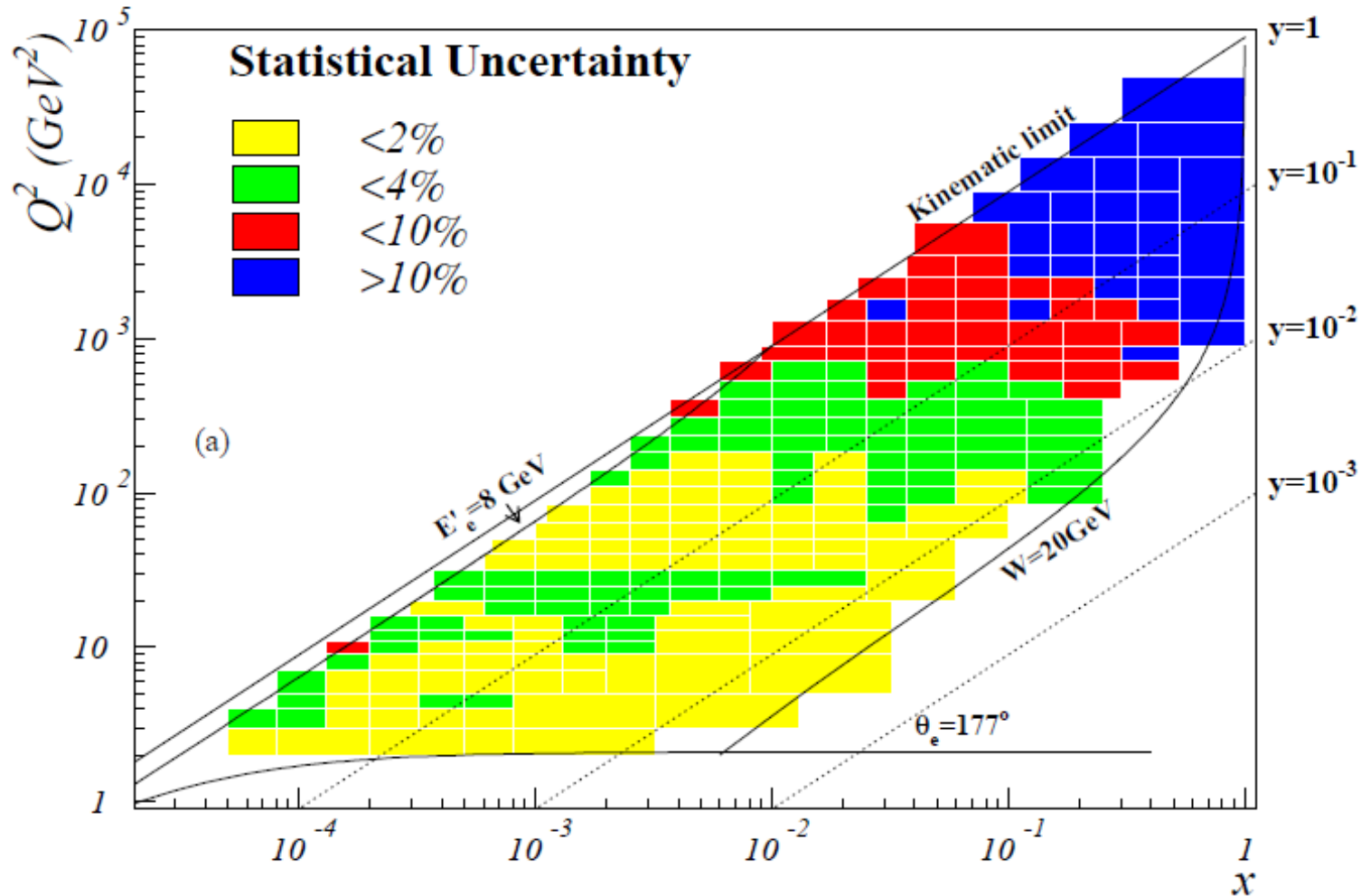
# Charged currentの例



# HERAの測定可能領域

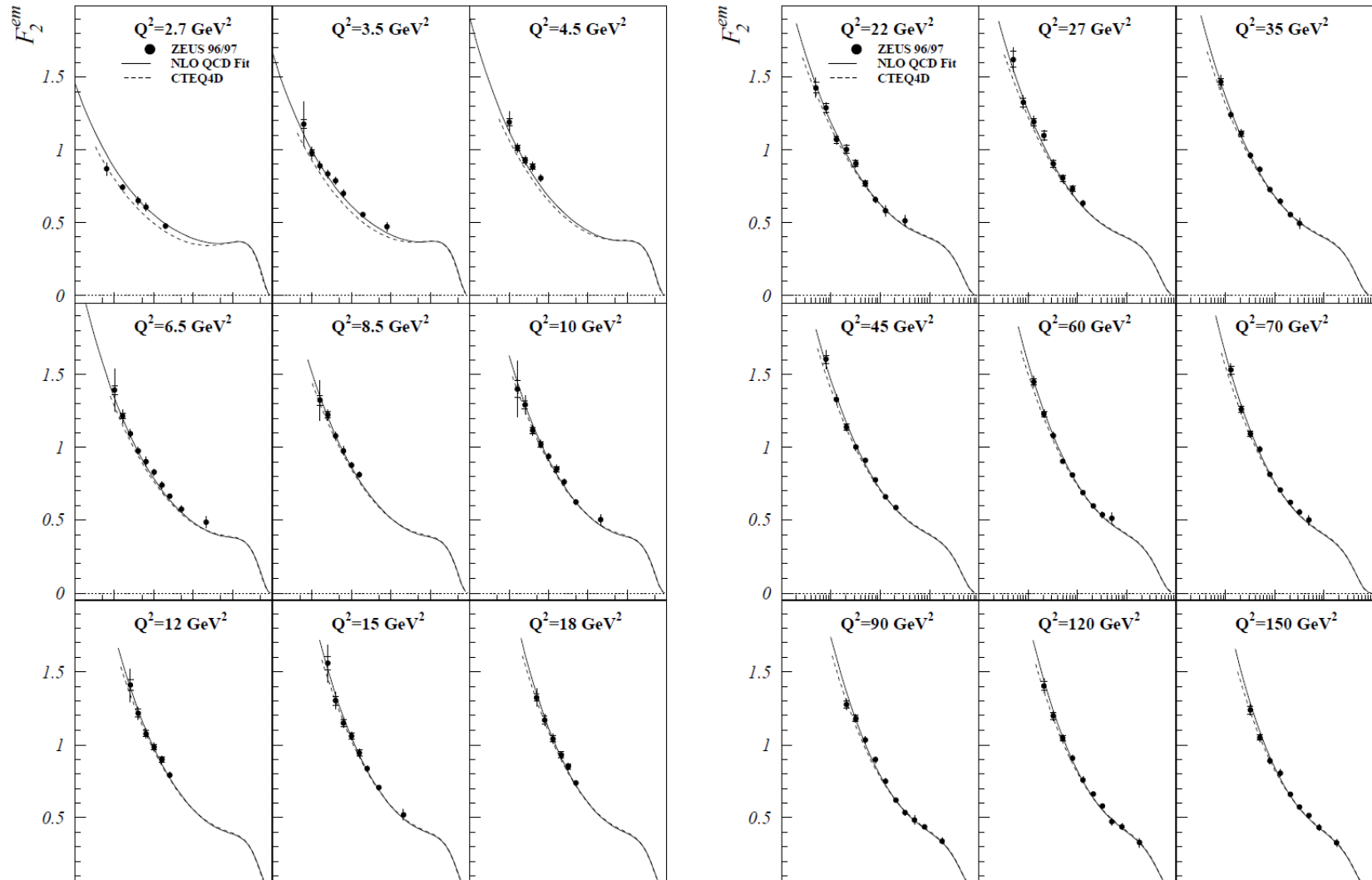
## ZEUS

Eur. Phys. J. C 21, 443-471 (2001)

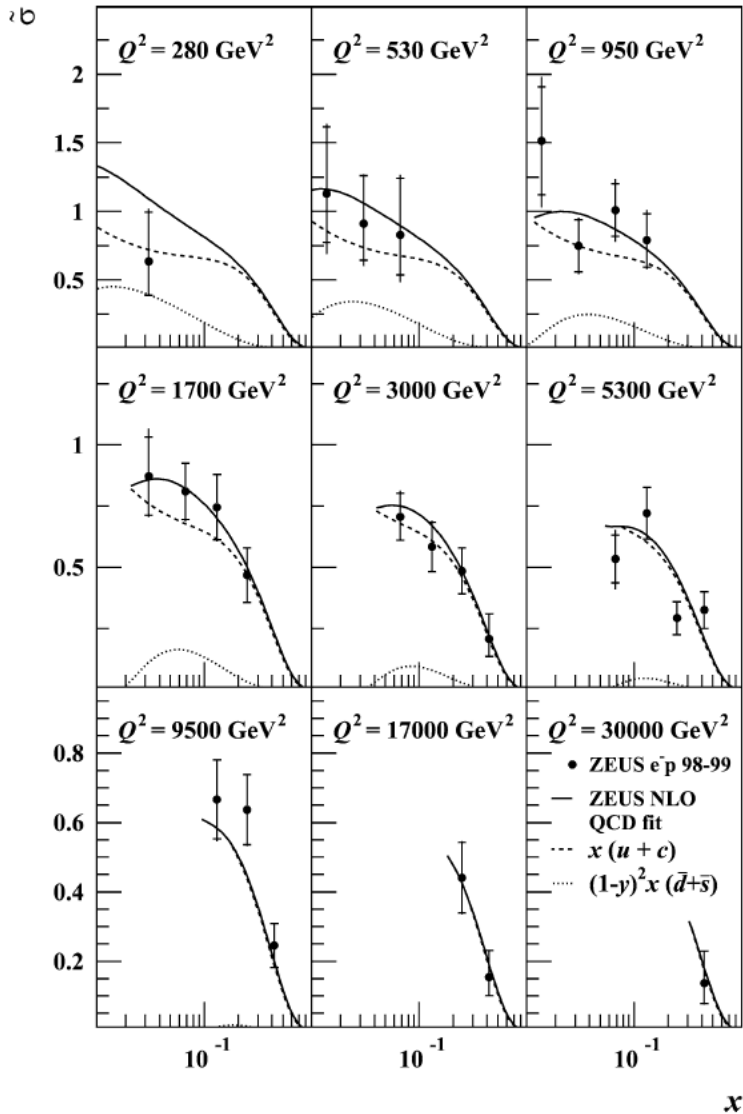


# Neutral current

Eur. Phys. J. C 21, 443-471 (2001)



# Charged current断面積



Phys. Lett. B 539 (2002) 197-217

# 断面積測定からパートン分布の決定

$$xg(x) = A_g x^{B_g} (1-x)^{C_g} - A'_g x^{B'_g} (1-x)^{C'_g},$$

arXiv: 1506.06042

$$xu_v(x) = A_{u_v} x^{B_{u_v}} (1-x)^{C_{u_v}} (1 + E_{u_v} x^2),$$

$$xd_v(x) = A_{d_v} x^{B_{d_v}} (1-x)^{C_{d_v}},$$

$$x\bar{U}(x) = A_{\bar{U}} x^{B_{\bar{U}}} (1-x)^{C_{\bar{U}}} (1 + D_{\bar{U}} x),$$

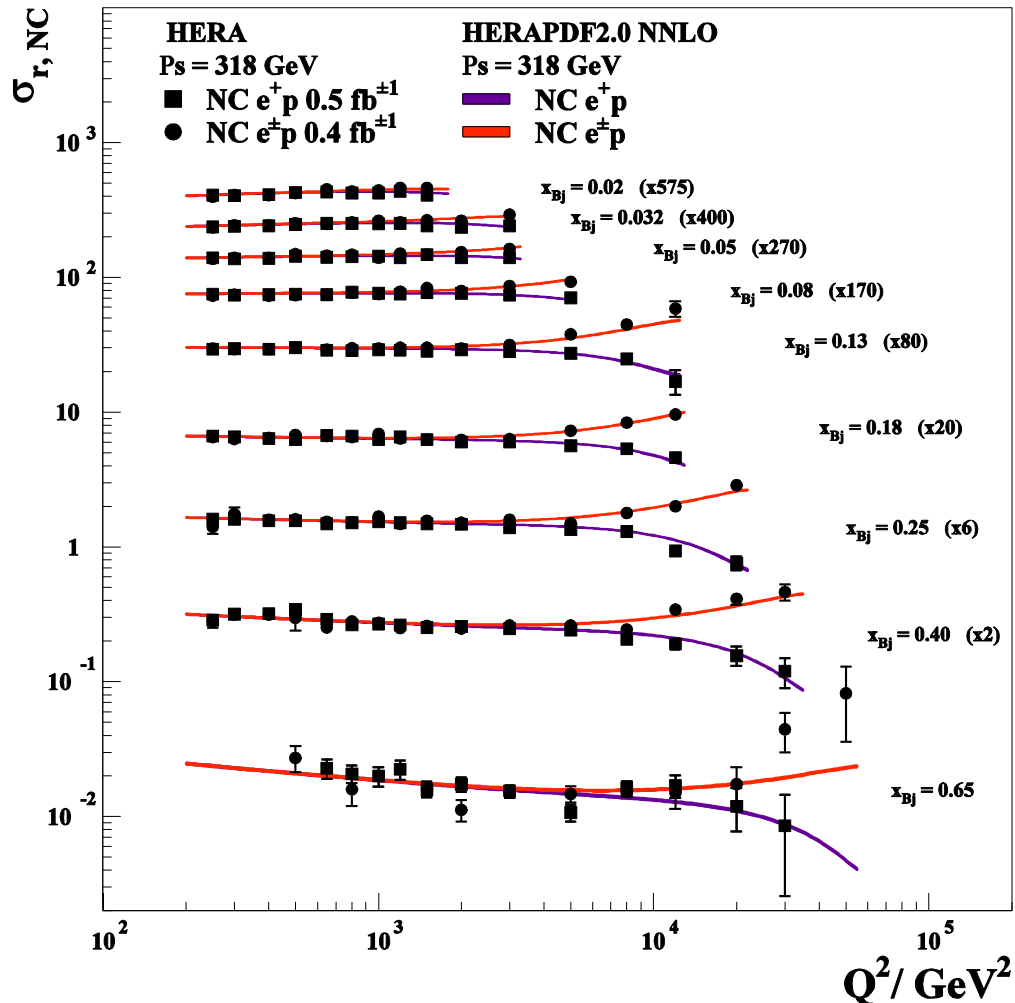
$$x\bar{D}(x) = A_{\bar{D}} x^{B_{\bar{D}}} (1-x)^{C_{\bar{D}}}.$$

パートン分布の関数形を仮定して、測定された断面積に合うようにパラメータを決定する

$$\chi^2_{\text{exp}}(m, s) = \sum_i \frac{[m^i - \sum_j \gamma_j^i m^i s_j - \mu^i]^2}{\delta_{i,\text{stat}}^2 \mu^i m^i + \delta_{i,\text{uncor}}^2 (m^i)^2} + \sum_j s_j^2 + \sum_i \ln \frac{\delta_{i,\text{stat}}^2 \mu^i m^i + (\delta_{i,\text{uncor}} m^i)^2}{(\delta_{i,\text{stat}}^2 + \delta_{i,\text{uncor}}^2) (\mu^i)^2}$$

# Neutral current

## H1 and ZEUS

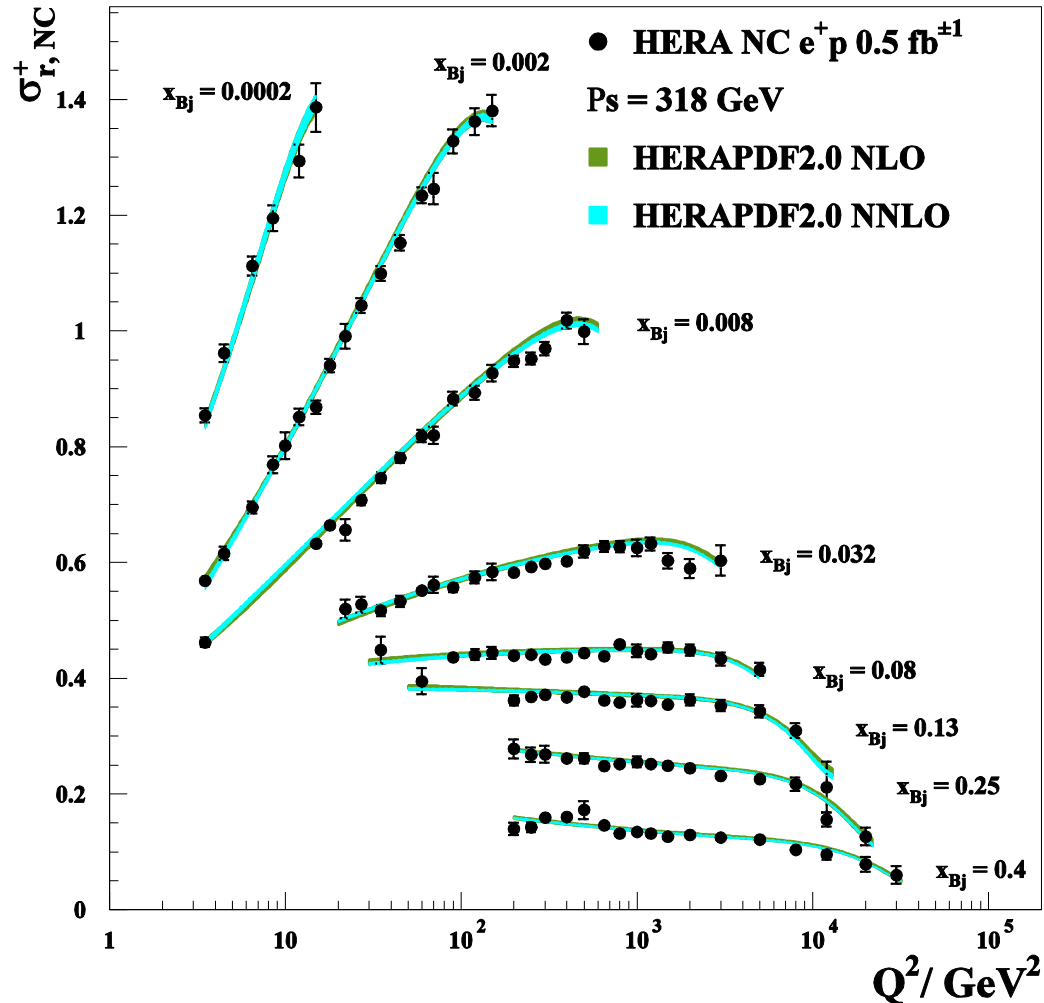


- $e^- + p \rightarrow e^- + X$
- $e^+ + p \rightarrow e^+ + X$

- $Q^2$ が小さいうちは、光子交換が支配的だが、 $Q^2$ が大きくなると  $Z^0$ 交換の寄与が見えてくる
- 電子と陽電子で結合定数の違いにより断面積が変わる

# 断面積(～構造関数)の $Q^2$ 依存性

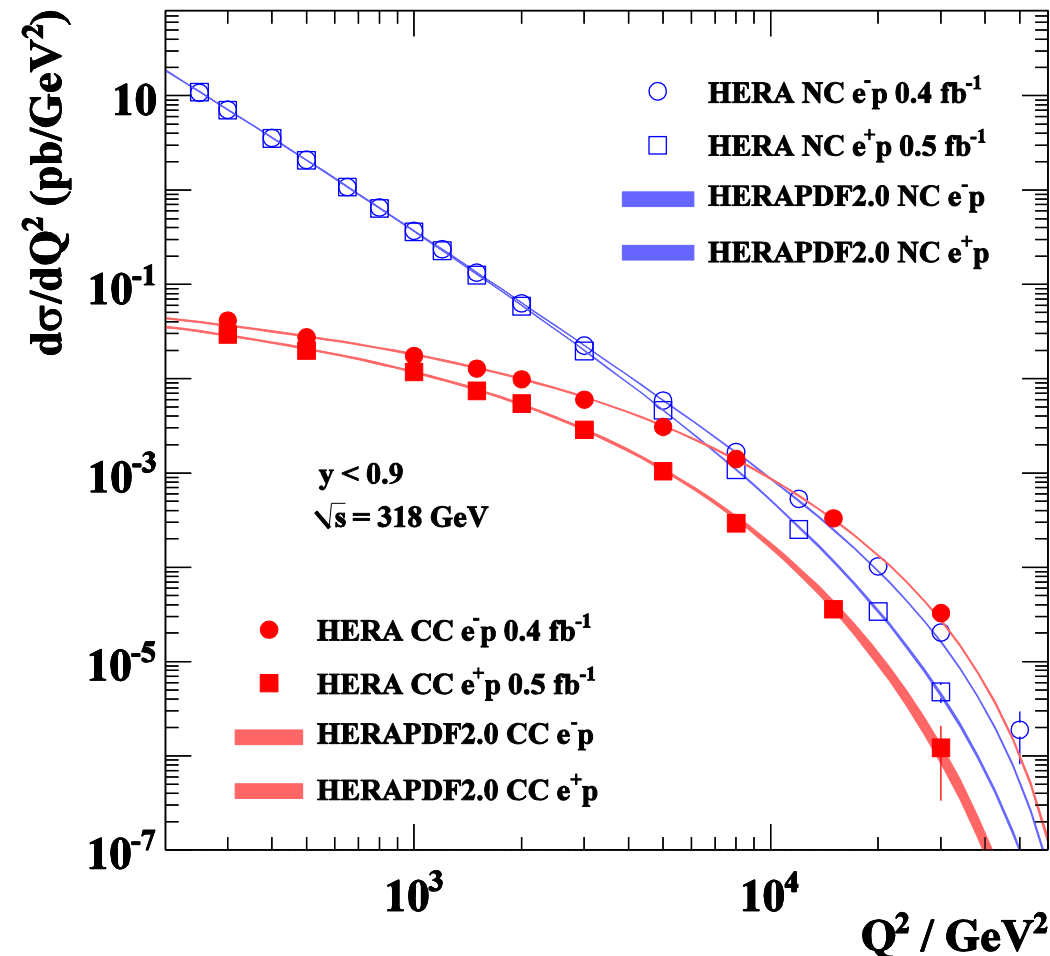
## H1 and ZEUS





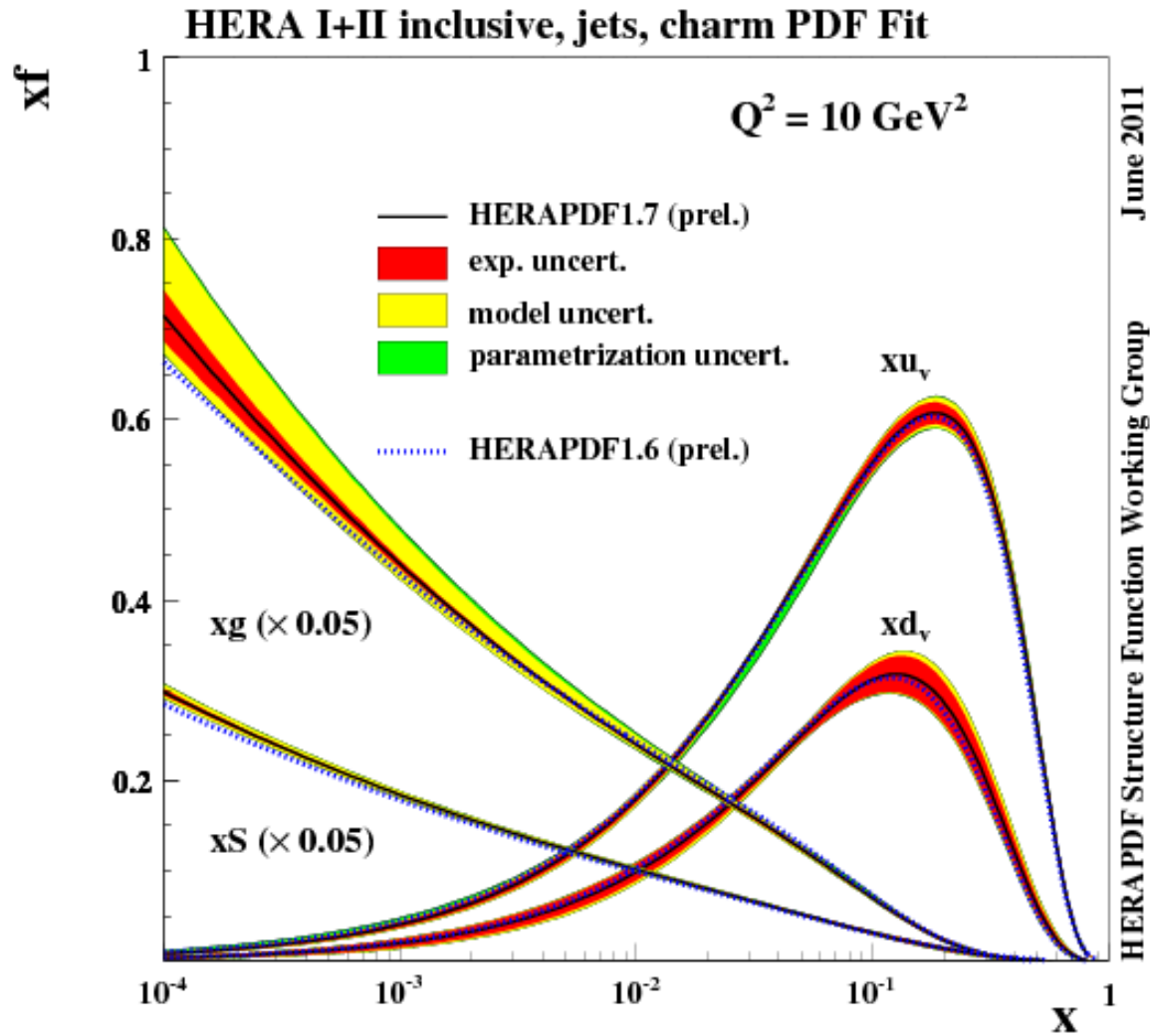
# NCとCCの”統一”

## H1 and ZEUS



- $Q^2$ の小さい領域 (<5000 GeV<sup>2</sup>)では、Charged currentの断面積はNeutral currentに対して抑制されている
- $Q^2$ が大きい領域 (>10<sup>4</sup> GeV<sup>2</sup>)では、同じように振る舞う $\gamma$ ,  $W^\pm$ ,  $Z^0$ 交換の違いが少なくなる
- 結合定数の違いがあるので完全に一致はしない

# 構造関数からパートン分布の導出



# その他の測定

- グルーオンPDF
  - チャーム対生成を利用
  - $\gamma + g \rightarrow c + \bar{c}$
- sクォークPDF
  - Charm production in charged current
  - $W^+ + s \rightarrow c$
  - 但し断面積が小さい

# PDFのハドロン衝突への応用